

ГИДРОЭНЕРГЕТИКА ОБЪЕКТЛАРИДА ИШЛАТИЛАДИГАН АЙЛАНУВЧИ МЕХАНИЗМЛАР БУРЧАК ТЕЗЛАНИШИНИ ЎЛЧАШ ДАТЧИГИНИНГ АСОСИЙ ПАРАМЕТРЛАРИ

Рустам БАРАТОВ, доцент,
Яъқубжон ЧУЛЛИЕВ, асистент,
Мурод БЕГМАТОВ, магистрант,
 "Тошкент ирригация ва қишлоқ хўжалигини механизациялаш мұхандислари институты"
 миллий тадқиқот университети,
Шерзод ҲАФИЗОВ, магистрант, Жиззах политехника институты

Аннотация

В данной статье описан датчик, измеряющий угловое ускорение вращающихся механизмов, применяемых в гидроэнергетических сооружениях, и приведены его основные параметры. В статье также были проверены некоторые параметры датчика и выявлены ошибки. Разработаны рекомендации по их исправлению.

Ключевые слова: гидроэнергетический объект, гидроэнергетическое сооружение, вращающейся механизм.

Бугунги кунда гидроэнергетика обьектларида жуда кўп ҳал этилиши лозим бўлган муаммолар мавжуд. Гидроэнергетика обьектларида электр двигателлар ишлатилиб, унинг валига турли кўринишда турлича қувватга эга бўлган юкламалар уланади. Двигатель юклама билан ишлаш жараёнида унинг валига тушадиган оғирлик турлича бўлади ва бу баъзида двигателнинг номинал қувватидан ортиб кетиши ҳам мумкин.

Айланувчи қисмларга таъсир этаётган қувватни ўлчаш ва назорат қилиб туриш учун, турли хил датчиклар ишлаб чиқилган. Бу датчиклар айланувчи механизмларнинг бурчак силжиши, бурчак тезлиги, бурчак тезланиши каби параметрларини ўлчаш ва назорат қилиш имконини беради. 1-расмда бурчак тезланиш датчигининг таснифланиши берилган.

Биз ушбу мақолада "Су 1793384" патенти характеристикалари ва конструктив жиҳатдан баъзи камчиликларини кўриб чиқамиз. Ушбу патентнинг номи "Бурчак тезланиш датчиги".

Кўйида 3-расмда ушбу датчикнинг тузилиши кўрсатилган. Ушбу датчик магнит ўтказгич, ўқ, инерцион масса, қўшимча номагнит материал, зазор, қўзгатиш чўлгами, ўлчаш чўлгами каби қисмлардан иборат.

Ихтиро ахборот ва ўлчов технологиясига таалукли бўлиб, уларни синовдан ўтказиш ва ишлатиш пайтида техник обьектларнинг бурчак тезланишини ўлчаш учун ишлатилиши мумкин. Ихтиронинг моҳияти: қурилма қўйидагилардан ташкил топган — О-шаклдаги магнит ўтказгич. Унинг пастки қисмида стержень ўқ мавжуд. Унда

Annotation

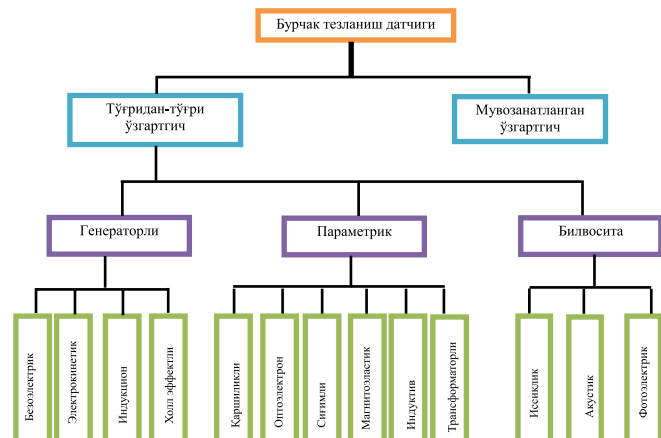
This article describes a sensor that measures the angular acceleration of rotating mechanisms used in hydropower facilities, and its main parameters are given.

The article also checked some sensor parameters and found errors.

Recommendations for correcting errors have been developed.

Key words: hydropower facility, hydropower facility, rotating mechanism.

инерцион масса ҳаракатланади. Бу магнит юмшоқ ҳалқа бўлиб, унинг радиуси қалинлиги доимийдир, унинг ташқи томони айланади. Бурчак силжиши қонун бўйича ўзгаради. Қўшимча номагнит масса инерцион массасининг мувозанатини таъминлайди. Инерцион масса ва айланади стержень орасидаги тор тирқиши магнит суюқлик билан тўлдирилган. Ўзаро кетма-кет уланган қўзгатиш чўлгамлари ва ўзаро кетма-кет уланган ўлчаш чўлгамларидан иборат [1].



1-расм. Бурчак тезланиш датчигининг таснифланиши.

Синов обьекти доимий тезлиқда айланганда инерцион масса магнит занжирга нисбатан тинч ҳолатда бўлади ва чиқиши сигнални нолга тенг. Бурчакли тезланиши содир бўлганда, инертсион массага буралувчи момент таъсир қиласи, бу уни доимий бурчак тезлиқ билан айланышига олиб келади.

Бурчак тезлик бурчак силжишидан вақт бўйича олинган ҳосилага teng, ёки тебраниш моментининг ишқаланиш коэффициентига нисбатига teng.

$$M = l_o \varphi \quad (1)$$

Айланувчи жисм моменти танадаги статик момент ва ўрганилаётган объект бурчак тезланиши кўпайтмасига teng [12], [13], [14], [3].

датчикнинг магнит оқими қуидагида топилади:

$$\Phi = \frac{F}{R\mu} \quad (2)$$

хаво оралиғининг магнит қаршилиги [4], [5], [8]:

$$R_\mu = \frac{\delta}{\mu_0 S} \quad (3)$$

Инерцион массанинг ташқи юзаси чизиқли қонун бўйича ўзгарганда тирқишининг юзаси қуидаги (4,5) формулалар ёрдамида топилади:

$$S = K_1 + K_2 \alpha \quad (4)$$

$$K_2 = \frac{S - K_1}{\alpha} \quad (5)$$

Ўлчаш чўлғамларида ҳосил бўлаётган ЭЮК тирқишининг магнит қаршилигига, бурчак тезла-нишга тўғри пропорционал: [7], [10], [11], [12].

$$\varepsilon_{\check{y}l} = -WF \frac{l_0 \mu_0 K_2}{f\delta} \varphi \quad (6)$$

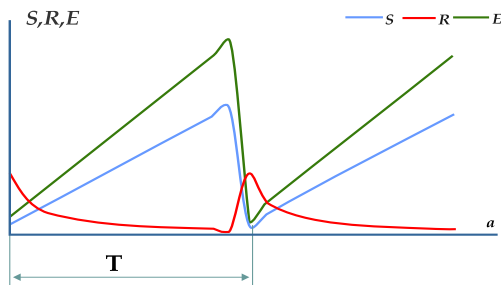
$$\varepsilon_{\check{y}l} = -WF \frac{l_0 \mu_0 K_2}{f\delta} \cdot \frac{\omega^2}{2\cdot\alpha} \quad (7)$$

З-расмда инерцион масса юзаси, магнит қаршилик ва чиқищдаги электр юритувчи кучнинг бурилиш бурчагига боғлиқлиги келтирилган.

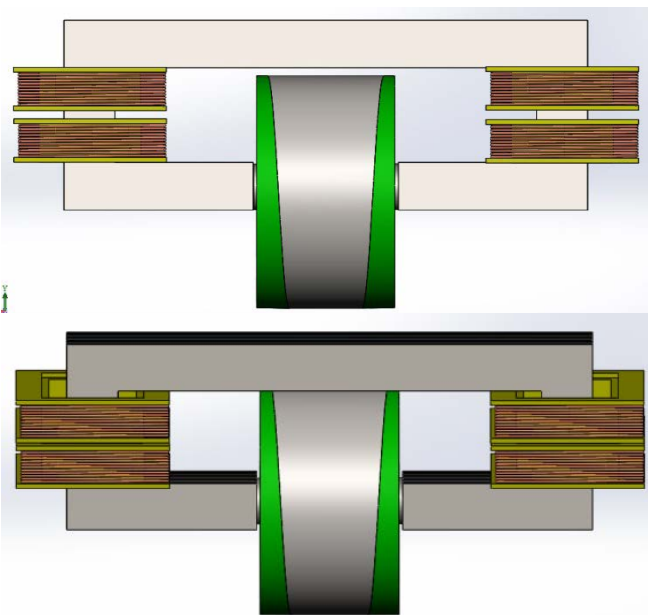
5-расмда эса датчикнинг чиқиши қисмидаги электр юритувчи кучнинг вақтга боғлиқлик графиги берилган бўлиб, ташқи ўзгарувчи юза энг минимал нуқтага етган вақтда ҳосил бўлаётган электр юритувчи куч минимал қийматга эришади. Кейин эса шу жараён яна қайтадан такрорланади. Бу такрорланишлар сонини аниқлаш учун қуидаги формуладан фойдалансак бўлади [15], [16], [17].

Бирлик вақтдаги импульслар сонини қуидаги (8) формуладан топамиз.

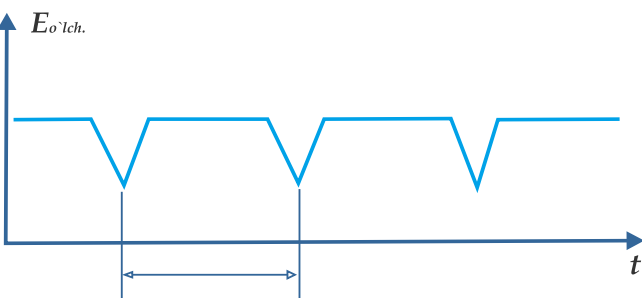
$$n = \frac{l_0}{2\pi} \quad (8)$$



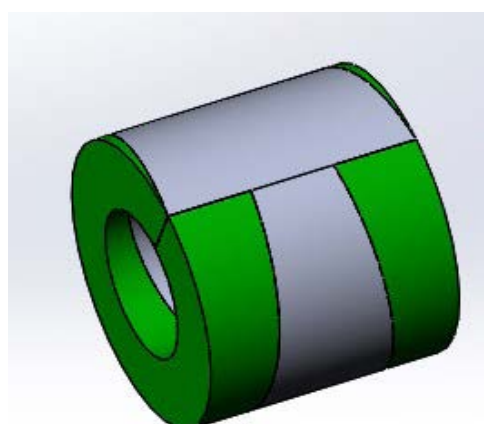
2-расм. Инерцион масса ташқи юзаси, магнит қаршиликтан ҳосил бўлгандан электр юритувчи кучнинг бурчак силжинига боғланниш графиги.



4-расм. Бурчак тезланиш датчигининг чиқишидаги ЭЮКнинг вақтга болғылары графиги.



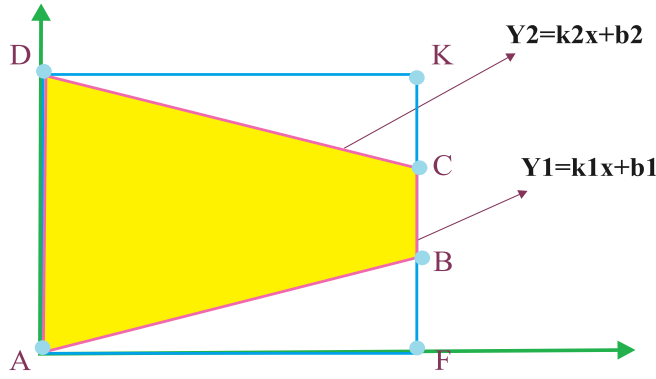
Ушбу бурчак тезланиш датчиғида инерцион масса иккі хил материалдан ташкил топған.(5-расм). Материалларнинг зичлиги ўзаро тенг эмас. Бу эса ушбу датчиқда инерцион массани мувоза-натини таъминламайди. Яъни оғирлик маркази силжиган ҳолга олиб келади. Буни аниқлаш бироз мураккаб бўлиб, математик ёки физик модел-дан фойдаланишга тўғри келади.



5-расм. Инерцион массанинг күриниши.

Материаллар ва усуллар.

Ушбу ишни ўрганишда математик ва физик моделлаштириш усулларидан фойдаландик. Физик моделни яратишида SolidWorks 2014 дастури (3-расм) ва математик моделни яратишида Матлаб 2014 дастурларидан фойдаландик (9-расм).



3-расм. Инерцион массанинг ёйилган кўриниши.

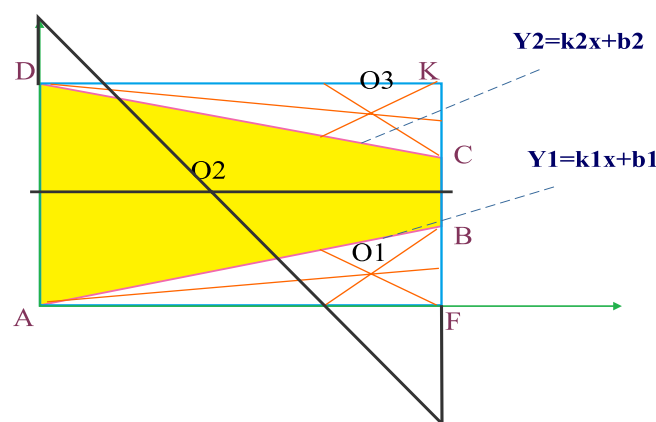
Инерцион массанинг оғирлики марказини ҳисоблаш учун биз қуидаги 7-расмдан фойдаланамиз.

Ушбу расмда 3 та асосий қисм мавжуд ва шулардан иккитаси номагнит материалга тегишли. Бир жинсли бўлмаган жисмлар оғирлики марказини топиш учун унинг ҳар бир элементи оғирлики марказини топиш талаб этилади. Бунинг учун 8-расмни чизиб оламиз. Ушбу расмда ҳар бир бўлак оғирлики марказлари шартли равишида O1, O2, O3 деб белгиланган. Ушбу элементлар юзаларини интеграл орқали ҳисоблаймиз.

Биринчи элементнинг оғирлики маркази координаталари O₁(x₁,y₁).

$$x_1 = \frac{[AF]}{3} \cdot 2 = \frac{22}{3} = 7,3 \quad (9)$$

$$y_1 = \frac{1}{3}[AD - KB] = \frac{1}{3}(8 - 5) = 1 \quad (10)$$



7-расм. Бир жинсли бўлмаган жисм элементларининг оғирлики марказлари.

Иккинчи элементнинг оғирлики маркази координаталари O₂(x₂,y₂)

$$x_2 = \frac{[AF]}{3} \cdot \frac{[AD] + 2[BC]}{[AD] + [BC]} = 4,4 \quad (11)$$

$$y_2 = \frac{[AD]}{2} = \frac{8}{2} = 4 \quad (12)$$

Учинчи элементнинг оғирлики маркази координаталари O₃(x₃,y₃)

$$x_3 = \frac{2}{3}[AF] = \frac{2}{3} \cdot 11 = 7,3 \quad (13)$$

$$y_3 = [AD - y_1] = 8 - 1 = 7 \quad (14)$$

Бир жинсли бўлмаган жисмнинг оғирлики маркази координаталари h₁=h₂=h₃

$$\frac{\rho_1 S_1 x_1 + \rho_2 S_2 x_2 + \rho_3 S_3 x_3}{\rho_1 S_1 + \rho_2 S_2 + \rho_3 S_3} \quad (15)$$

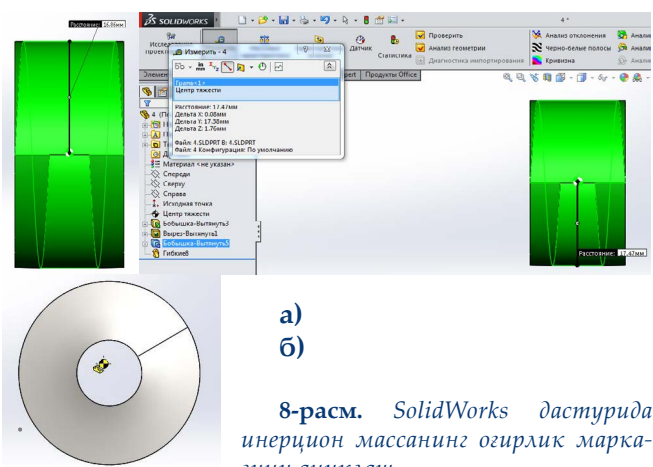
$$\rho_1 = \rho_3 = 1000 \quad \rho_2 = 2000$$

$$x_0 = \frac{\rho_1 S_1 (x_1 + x_3) + \rho_2 S_2 x_2}{2\rho_1 S_1 + \rho_2 S_2} = 5,1 \quad (16)$$

$$y_0 = \frac{\rho_1 S_1 (y_1 + y_3) + \rho_2 S_2 y_2}{2\rho_1 S_1 + \rho_2 S_2} = 4 \quad (17)$$

Бир жинсли бўлган худди шу ўлчамдаги инерцион масса оғирлики марказлари x₀=5,5, y₀=4

Энди SolidWorks дастурида таҳлил қилиб қўрамиз. SolidWorks дастурида деталларни оғирлики марказини осонгина аниқлаш мумкин [2]. Қуидада 8-расмда оғирлики марказини аниқлаш кўрсатилган: б) расмдан қўриниб турибдики инерцион массанинг оғирлики маркази марказдан силжиган.



a)
б)

8-расм. SolidWorks дастурида инерцион массанинг оғирлики марказини аниқлаш.

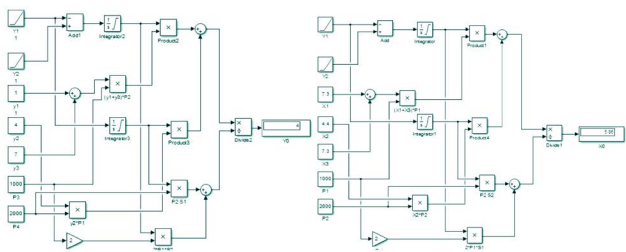
Натижаларни таҳлил қилиш.

8-а расмда SolidWorks дастурида инерцион массанинг пастки ва юқори нуқталаридан оғирлики марказигача бўлган масофалар ўлчанганд. Кўриб турганимиздек, пастки масофа юқорисидан каттароқ. Бундан ташқари, 8-б расмда оғирлики марказини юқорига силжиганини кўриш мумкин. 9-расмда Матлаб дастурида оғирлики марказини ҳисоблаш учун Симулинк модели ишлаб чиқилган бўлиб, унда кўрсатаётган натижа бир жинсли материалдан ясалган худди

шундай инерцион массанинг оғирлик маркази координаталаридан фарқ қиласди. Ушбу натижаларни барчаси бизнинг фаразимиз түғри эканлигини кўрсатади.

Ушбу хатоликни түғрилаш учун инерцион масса учун конструкция таклиф этиш зарур. Бу конструкциянинг олдингисидан фарқли томони, ундаги инерцион материал бир жинсли. Бу эса унинг оғирлик маркази силжимаслигига олиб келиши мумкин.

9-расм. Матлаб дастурида оғирлик маркази координаталарини аниқлаш.



Хулоса.

Хулоса ўрнида шуни айтиш мумкинки, қурилманинг ҳисобга олинмаган кичик хатоси ўлчаш пайтидаги хатоликларга олиб келиши мумкин. Бу хатоликлар эса, ўз навбатида, энергиянинг ортиқча ишлатилиши ёки айланувчи механизмларни ортиқча юкланишдан зўриқишига олиб келиши мумкин. Хатоликлар ҳар доим мавжуд, лекин уларни минималлаштириш учун қурилмани та-комиллаштириб бориш зарур бўлади.

Ушбу датчик ёрдамида айланувчи механизмларни асосий параметрларини аниқлаш мумкин. Ихтиро ўлчаш технологиясида ишлатилиб, бурчак катталикларини электр катталикларига айлантириб беради. Датчикда инерцион масса мувозанат ҳолатида қолмайди ва бу хатоликни ошишига олиб келади. Ишни таҳлил қилинганда замонавий пакет программалар математик хисобларни осонлаштиради. Физик моделлар математик моделларни түғрилигини ифодалашишарт.

Фойдаланилган адабиётлар рўйхати:

1. Датчик угловых ускорений, Р.К. Азимов, Н.У.Маллин, патент. 1973 г.
2. Boyev V.D., Sypchenko R.P. Computer modeling. — INTUIT.RU, 2010. — 349 p.
3. Amirov S.F., Sattarov K.A. Inductive sensors of angular acceleration Proceyedings — 2020 International Conference on Industrial engineering, Applications and Manufacturing, — ICIYEAM, 2020, 2020, 9112045.
4. Charubin T., Urbanski M., Nowicki M. Analysis of Automated Ferromagnetic Measurement System. — Adv. Intell. Syst. Comput. 2017, 543, PP. 593–600.
5. Szewczyk R. Computational Problems Connected with Jiles-Atherton Model of Magnetic Hysteresis. — Adv. Intell. Syst. Comput. 2014, 267, PP. 275–283.
6. Harlow J.H. Electric Power Transformer engineyering, Third ed., CRC Press, Taylor & Francis, 2012.
7. Chiyesa N. and Høidalen H.K. “Modeling of nonlinear and hysteretic iron-core inductors in ATP,” in european eMTP-ATP Conference, — Leon, Spain, 2007.
8. Handley Robert C. Modern magnetic materials: principles and applications/ Robert C. O’Handley. — Massachusetts Institute of Technology ISBN 0-471-15566-7. Copyright 2000 by John Wiley & Sons, 740 p.
9. Safarov A., Sattarov Kh., Jumaboyev S. Device for conversion of equalizing current at the site of the traction ac network. E3S Web of Conferences 139, 01034 (2019) RSES 2019 <https://doi.org/10.1051/e3sconf/201913901034>, P. 3.
10. Safarov A., Sattarov Kh., Jumaboyev S. Device for detection of the phase current asymmetry in the threeye-phase lines of non-traction consumers. MIST: Aerospace 2019 IOP Conf. Seriyes: Materials Sciyence and engineyering 734 (2020) 012196 doi: 10.1088/1757-899X/734/1/012196, P. 4.
11. Baratov R.J., Pirmatov N.B. Low - speyed generator with permanent magnets and additional windings in the rotor for small power wind plants and micro hydro power plants. International conference “Construction Mechanics, Hydraulics and Water Resources engineyering”, CONMECHYDRO-2020, April 23-25, 2020, IOP Conference Seriyes: Materials Sciyence and engineyering, <https://iopsciyence.iop.org/issuye/1757-899X/883/1>
12. Afonsky A. A., Diakonov V. P. Measuring devices and mass electronic measurements. — Moscow, SOLON-PRESS, 2007.
13. Roman M. Instrumentation and Measurement in electrical engineyering. — USA: Brown Walker Press, 2011.
14. Amirov S. F., Safarov A.M., Rustamov D. Sh. Electromagnetic current sensor for traction power supply device control systems// Chemical technology. Control and management. — Tashkent, 2014, No. 2. pp. 26-31.
15. DC and AC current sensors. - Research Institute of electromechanics. — URL: http://www.niiyem46.ru/current_sensors/.
16. Current sensors, industrial design. — TVELEM. — URL:<http://www.lem.com/ru/ru/content/viyew/> 478/882/.